

การประชุมวิชาการเครือข่ายวิศวกรรมเครื่องกลแห่งประเทศไทยครั้งที่ 14  
2-3 พฤศจิกายน 2543 โรงแรม โน娃ເທຣ ເຊຍໃໝ່

## การศึกษาแรงที่กระทำต่อด้านข้างพันธ์-ดายของแม่พิมพ์ตัดโดยใช้ FEM Investigation of Side Force Acting on the Side Surface of Shearing Tools by Means of FEM

พงศ์พันธ์ แก้วตาทิพย์\*, มาซากิ จิน\*\* และ มาซาโอะ มุระคาวะ\*\*

\*ภาควิชาวิศวกรรมเครื่องกล คณะวิศวกรรมศาสตร์ มหาวิทยาลัยเทคโนโลยีพระจอมเกล้าธนบุรี

กรุงเทพมหานคร 10140

โทร (02) 470-9117, โทรสาร (02) 470-9111, E-mail : [iponatip@cc.kmutt.ac.th](mailto:iponatip@cc.kmutt.ac.th)

\*\*ภาควิชาวิศวกรรมเครื่องกล คณะวิศวกรรมศาสตร์ Nippon Institute of Technology

Saitama Prefecture, JAPAN

โทร (+81) 480-33-7614, โทรสาร (+81) 480-33-7614, E-mail : [jin@nit.ac.jp](mailto:jin@nit.ac.jp), [mura@nit.ac.jp](mailto:mura@nit.ac.jp)

Pongpan Kaewtatip\*, Masahiko Jin\*\* and Masao Murakawa\*\*

\*Department of Mechanical Engineering, Faculty of Engineering, King Mongut's University of Technology Thonburi

Bangkok 10140, Thailand

Tel : (+66) 2-470-9117, Fax : (+66) 2-470-9111, E-mail : [iponatip@cc.kmutt.ac.th](mailto:iponatip@cc.kmutt.ac.th)

\*\* Department of Mechanical Engineering, Faculty of Engineering, Nippon Institute of Technology

4-1 Gakuenndai, Miyashiro-machi, Minamisaitama-gun, Saitama 345-8501, Japan

Tel : (+81) 480-33-7614, Fax : (+81) 480-33-7614

### บทคัดย่อ

แรงที่กระทำต่อด้านข้างของพันธ์-ดายของแม่พิมพ์ตัดในกระบวนการตัดโลหะนั้นมีผลต่อความแม่นยำของชิ้นงานและอายุการใช้งานของแม่พิมพ์ ดังนั้นการวิเคราะห์หาค่าแรงดังกล่าวจึงมีความสำคัญอย่างมาก อย่างไรก็ตามในการทำการวัดแรงนี้จากการทดลองนั้น ต้องใช้เครื่องมือวัดที่สามารถแยกวัดเฉพาะแรงที่กระทำต่อด้านข้างของพันธ์โดยไม่รวมเอาแรงที่ใช้ในการตัด (Shearing Force) เข้ามาเกี่ยวข้อง ด้วย ซึ่งต้องอาศัยเครื่องมือเฉพาะที่ค่อนข้างซับซ้อนและยากต่อการนำมาใช้ในงานตัดทั่วๆไปได้ ดังนั้นเพื่อแก้ปัญหานี้ ทางคณะผู้จัดทำจึงได้ลองนำโปรแกรมไฟฟ์ในต์ເອລີມېນດ (FEM) ที่ชื่อ DEFORM2D มาช่วยในการวิเคราะห์หาแรงดังกล่าว ในงานวิจัยโดยใช้ชิ้นงานที่ทำมาจากสตุ๊ดามชนิดคือ เหล็กกล้าไร้สนิม เหล็กผสมคาร์บอนและแผ่นอลูมิเนียมที่มีความหนาเท่ากัน 4 และ 7 mm มาทำการตัดจริงและทำ

Simulation โดยใช้โปรแกรมไฟฟ์ในต์ເອລີມېນດ DEFORM2D พบว่าแรงที่ใช้ในการตัดและสภาพหน้าตัดของชิ้นงานที่ได้จากการทำ Simulation และที่ได้จากการทดลองจริงนั้นมีค่าใกล้กันมาก และเมื่อลองนำผลของการทำ Simulation ไปเทียบกับผลการทดลองที่เคยมีมาก่อนแล้ว [1] ปรากฏว่า ผลของแรงที่กระทำต่อด้านข้างของพันธ์ที่ได้จากการคำนวณ และผลการทดลองดังกล่าวข้างต้นมีแนวโน้มที่คล้ายกัน ดังนั้นจึงสามารถสรุปได้ว่า FEM สามารถนำมาใช้วิเคราะห์เพื่อที่จะคำนวณหาแรงที่กระทำต่อด้านข้างของพันธ์-ดายของแม่พิมพ์ตัดได้อย่างแม่นยำ

### Abstract

The side force acting on the side surface of a shearing or blanking tool has a strong effect on the precision of the blanked product and the lifetime of the

tool of the process. The investigation of the side force, therefore, is very important for the design of shearing and blanking tools. However, the measurement of the force experimentally is complicated. In order to solve the problem, the authors, therefore, try to investigate the side force by using a commercial Finite Element code; DEFORM2D to simulate the blanking processes. From the results of using stainless steel, medium carbon steel and aluminum as workpiece materials in the experiment and the simulation by using FEM, it is found that the blanking forces calculated by FEM are similar to those from the experiment. Further, the side forces acting on the tool calculated by FEM are also similar to those reported in the preceding research [1]. This leads to the conclusion that FEM can be used to predict the side force acting on blanking tools accurately.

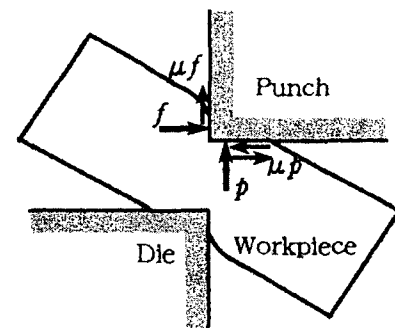
### 1. บทนำ

แรงที่กระทำต่อด้านข้างของพันช์และด้วยของแม่พิมพ์ตัดในกระบวนการตัดโลหะแบบไม่มีเสียงนั้น มีผลอย่างมากต่อความแม่นยำ (Precision) ซึ่งจะบ่งบอกถึงคุณภาพของชิ้นงาน และอายุการใช้งานของแม่พิมพ์ ยกตัวอย่างที่เห็นได้ชัดคือในการทำการตัดเหล็กแผ่นบางที่ใช้เป็นเฟรมของแฝ้น IC (IC lead frame) เนื่องจากในปัจจุบันจำนวนข้าวของ IC มีจำนวนมากเมื่อเทียบกับขนาดของตัวมัน ดังนั้นความกว้างของชา และช่องว่างระหว่างชาของ IC จะมีขนาดเล็กมาก พันช์ที่ใช้ในการตัดซ่องว่างระหว่างชาของ IC ก็จะมีขนาดเล็กมากเช่นกัน ซึ่งในบางกรณีความกว้างของพันช์จะมีขนาดเท่ากับหรือน้อยกว่าความหนาของชิ้นงานที่จะถูกตัด ซึ่งส่งผลให้การตัดของของพันช์เนื่องจากแรงที่กระทำต่อด้านข้างมีผลอย่างมากต่อความแม่นยำของชิ้นงานและอายุการใช้งานของของพันช์ดังกล่าว ดังนั้นการวิเคราะห์แรงที่กระทำต่อด้านข้างของพันช์และด้วยการตัดจากการทดลองนั้นได้มีผู้กระทำมาบ้างแล้ว (เช่นงานวิจัยของ Maeda[1] และงานวิจัยของ Takahashi[2]) แต่อย่างไรก็ตามในงานดังกล่าวต้องการเครื่องมือที่มีความซับซ้อนมากเนื่องจากต้องวัดแรงที่กระทำต่อด้านข้างจริงๆ โดยไม่รวมเอาแรงที่ใช้ในการตัด (Blanking or Shearing force) เข้ามาเกี่ยวข้องด้วย นอกจากนี้เครื่องมือดังกล่าวยังไม่สามารถใช้ได้กับแม่พิมพ์ธรรมดากว่าๆไปได้ ดังนั้นเพื่อแก้ปัญหานี้ทางคณะผู้จัดทำจึงได้นำเอาโปรแกรมไฟ

ไนต์เอลิเมนท์ (FEM) ที่ชื่อ DEFORM2D เข้ามาทำ Simulation ของกระบวนการตัด และทำการวิเคราะห์ว่า FEM สามารถใช้ในการคำนวณหาแรงที่กระทำต่อด้านข้างของพันช์และด้วยได้หรือไม่โดยเปรียบเทียบผลของการทำ Simulation กับการทดลองจริงที่ได้ทำขึ้นเองและที่ได้มีผู้ได้ทำไว้แล้ว[1] สาเหตุของการเลือกใช้โปรแกรม DEFORM2D เข้ามาใช้ในงานวิจัยชิ้นนี้เนื่องจากโปรแกรมดังกล่าวมีข้อดีคือ มีฟังก์ชันที่เรียกว่า Automatic Adaptive Remeshing ซึ่งจะทำการ Remeshing เอลิเมนต์โดยอัตโนมัติเมื่อเอลิเมนต์มีการเปลี่ยนแปลงรูปร่างไปมาก (Distortion) จึงทำให้สามารถวิเคราะห์กระบวนการขั้นรูปที่มีการเปลี่ยนแปลงรูปร่างมากๆ เช่น การตีขึ้นรูป (Forging) และการตัดแบบไม่เสียง (Blanking and Shearing) ได้โดยมีความคลาดเคลื่อนน้อย นอกจากนี้ยังสามารถวิเคราะห์ถึงความเสียหายแบบเหนียว (Ductile Fracture) ของชิ้นงานได้อีกด้วย

### 2. การวิเคราะห์แรงที่กระทำต่อพันช์และด้วย

เมื่อพันช์และด้วยของแม่พิมพ์ตัดกินเข้าไปในเนื้อชิ้นงาน จะเกิดแรงกระทำต่อพันช์และด้วยซึ่ง ถ้าลองพิจารณาแรงที่กระทำต่อพันช์จะสามารถเขียนแสดงได้ดังรูปที่ 1 นั้นคือจะประกอบไปด้วยแรงที่ชิ้นงานกระทำต่อด้านล่างของพันช์  $p$ , แรงเสียดทานระหว่างชิ้นงานกับพันช์ที่กระทำต่อด้านล่างของพันช์  $\mu p$ , แรงที่ชิ้นงานกระทำต่อด้านข้างของพันช์  $f$ , และ แรงเสียดทานระหว่างชิ้นงานกับพันช์ที่กระทำต่อด้านข้างของพันช์  $\mu f$  ดังนั้นถ้ารวมแรงทั้งหมดที่กระทำต่อด้านล่างของพันช์เข้าด้วยกัน จะได้ว่าแรงนี้คือแรงตัด (Shearing Force,  $P$ ) นั่นเอง ซึ่ง  $P = p + \mu f$  ในทำนองเดียวกันถ้ารวมแรงทั้งหมดที่กระทำต่อด้านข้างของพันช์ (Side Force  $F$ ) ก็จะได้  $F = f \pm \mu p$  ส่วนแรงที่กระทำต่อด้วยก็สามารถวิเคราะห์ได้ในทำนองเดียวกัน นั้นคือจะประกอบไปด้วยแรง



$$\text{Blanking Force } P = p + \mu f$$

$$\text{Side Force } F = f \pm \mu p$$

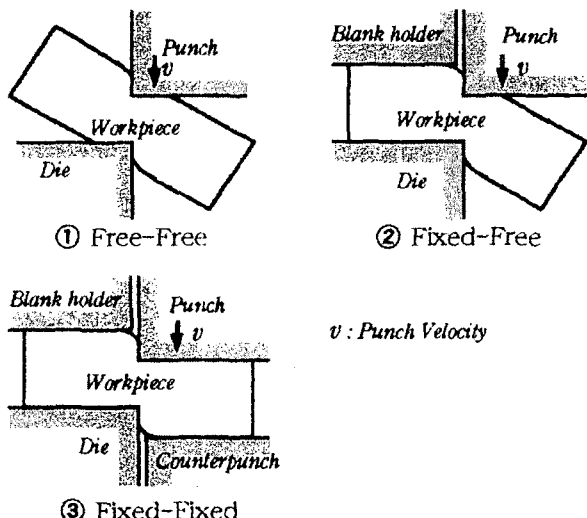
รูปที่ 1 แรงที่กระทำต่อพันช์ของแม่พิมพ์ตัด

สองชนิดใหญ่ๆคือ แรงตัดและแรงที่กระทำต่อด้านข้างของด้วย ในงานวิจัยนี้จะนำเอา FEM เข้ามาทำ Simulation เพื่อที่จะวิเคราะห์หาแรงที่กระทำต่อด้านข้างของพันช์หรือแรง  $F$  ข้างตันนั่นเอง และหลังจากนั้นจะทำการตรวจสอบความถูกต้องหรือความน่าเชื่อถือของข้อมูลที่ได้จากการทำ Simulation โดยการทำการทดลองตัดชิ้นงานจริงและวัดแรงตัดที่ได้จากการทดลองเปรียบเทียบกับค่าที่ได้จากการทำ Simulation ข้างต้น นอกจากนั้นจะทำการเปรียบเทียบแรงที่กระทำต่อด้านข้างพันช์ที่ได้จากการทำ Simulation กับค่าที่ได้จากการทดลองที่ทำโดย Maeda [1] ด้วย

### 3. วิธีการและเงื่อนไขของ Simulation และการทดลอง

#### 3.1 วิธีการและเงื่อนไขในการทำ Simulation

ไฟล์ในตัวอย่างนี้เป็นไฟล์แบบแม่แบบสำหรับการทดลองเดformation 2D ที่ใช้ในการทำ Simulation คือ DEFORM2D เวอร์ชัน 6.0 รูปแบบในการตัดที่จะทำการวิเคราะห์จะเป็นแบบแคนทิลเวอร์ (Cantilever) โดยจะแบ่งการยึดชิ้นงาน (Material Constraints) ออกเป็นสามชนิดคือ ① ปลายทั้งสองด้านเป็นอิสระ (Free-Free) ② ปลายด้านหนึ่งถูกยึดไว้ในขณะที่อีกด้านหนึ่งเป็นอิสระ (Fixed-Free) และ ③ ปลายทั้งสองด้านถูกยึดไว้ (Fixed-Fixed) เนื่องจากการยึดชิ้นงานที่แตกต่างกันจะส่งผลต่อแรงที่กระทำต่อด้านข้างของพันช์ค่อนข้างมาก โมเดลที่ใช้ในการวิเคราะห์ (Analysis Model) ของการยึดชิ้นงานทั้งสามแบบแสดงให้เห็นในรูปที่ 2 เงื่อนไขของการวิเคราะห์แสดงให้เห็นในตารางที่ 1 นั้นคือจะเป็นการวิเคราะห์แบบ Plane Strain สองมิติ และชิ้นงานถูกกำหนดให้เป็น Rigid plastic body ในขณะที่พันช์ ด้วย Blank holder และ Counter punch ถูกกำหนดให้เป็น Rigid



รูปที่ 2 วิธีการยึดชิ้นงาน

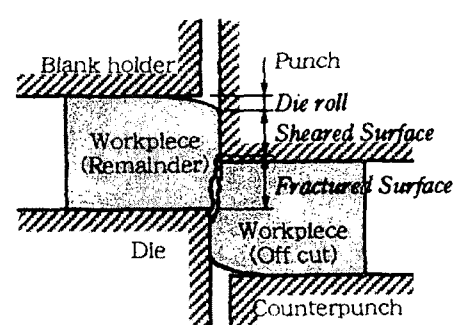
body ชิ้นงานที่ใช้ในการวิเคราะห์ทำมาจากวัสดุสามชนิดคือเหล็กผสมคาร์บอน (SS400; JIS) เหล็กกล้าไร้สนิม (SUS304; JIS) และอลูมิเนียม (A1100-O; JIS) ซึ่งคุณสมบัติทางกล Flow Stress และความหนาของวัสดุแต่ละชนิดแสดงให้เห็นในตารางที่ 1 เช่นกัน โดยที่คุณสมบัติทางกลและ Flow Stress ของวัสดุดังกล่าวได้มาจากการทำทดลอง การดึงของวัสดุนั้นๆ ซึ่งว่าระหว่างพันช์กับดายหรือเคลือร์เรนเซอร์ (Tool Clearance) มีค่าเท่ากับ 6.25% และ 10% ของความหนาของชิ้นงาน

ตารางที่ 1 เงื่อนไขในการทำ Simulation

| Analysis Type                                 | Plane Strain  |
|---|---|
| Workpiece Materials and Mechanical Properties | 1. SS400; $t = 4, 7 \text{ mm}$ , $\sigma_B = 746.5 \text{ MPa}$ , $\psi = 5.0\%$ , $\bar{\sigma} = 787 \text{ }\bar{\epsilon}^{0.238}$<br>2. SUS304; $t = 4 \text{ mm}$ , $\sigma_B = 726.5 \text{ MPa}$ , $\psi = 53.5\%$ , $\bar{\sigma} = 1212 \text{ }\bar{\epsilon}^{0.291}$<br>3. A1100-O; $t = 4 \text{ mm}$ , $\sigma_B = 127.0 \text{ MPa}$ , $\psi = 20.0\%$ , $\bar{\sigma} = 143 \text{ }\bar{\epsilon}^{0.023}$ |
| Tool Clearance                                | $CL = 6.25\%t, 10.0\%t$   |
| Friction Coefficient                          | 0.1   |

$\sigma_B$  : Tensile Strength,  $\psi$  : Percent Elongation

ในกระบวนการตัดวัสดุแบบไม่เสียเศษโดยทั่วไปจะมีเรื่องของความเสียหาย (Fracture) ของชิ้นงานเข้ามาเกี่ยวข้อง เนื่องจากเป็นที่ทราบกันดีว่าขอบตัดของชิ้นงานที่ได้จากการตัดแบบไม่เสียเศษโดยทั่วไปจะประกอบไปด้วย Die Roll, Sheared Surface และ Fractured Surface ดังแสดงให้เห็นในรูปที่ 3 (ยกเว้นในกรณีของกระบวนการตัดที่เรียกว่าไฟฟ์-แมลงค์ซึ่งผิวรอยตัดของชิ้นงานจะไม่มี Fractured Surface) ดังนั้นในการนำเอารูปที่ 2 ของวิเคราะห์กระบวนการตัดจำเป็นต้องพิจารณาถึงความเสียหายที่เกิดขึ้นในขอบตัดด้วยซึ่งเป็นที่ทราบกันว่าความเสียหายที่เกิดขึ้นในขอบตัดของ



รูปที่ 3 ขอบตัดของชิ้นงานตัดแบบไม่เสียเศษ

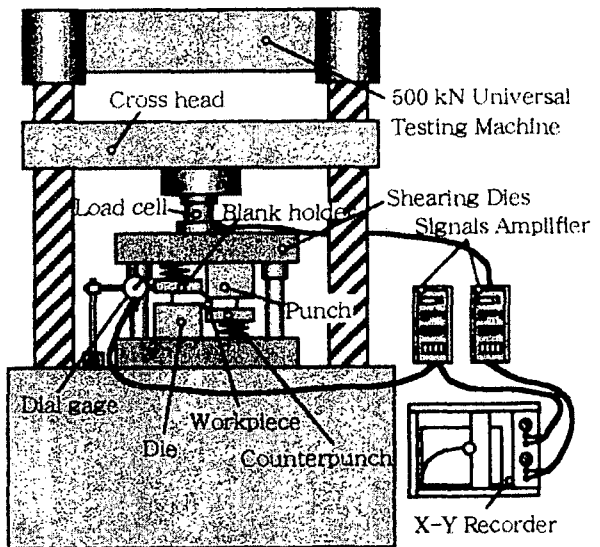
กระบวนการตัดแบบไม่เสียเหชน์เป็นความเสียหายแบบเหนียว (Ductile Fracture) เหตุผลหนึ่งในการนำเอา DEFORM2D เข้ามาใช้ในงานวิจัยชั้นนี้เนื่องจากซอฟต์แวร์ดังกล่าวสามารถวิเคราะห์ความเสียหายแบบเหนียวที่เกิดขึ้นในวัสดุได้[3] ซึ่งไครเทเรียนของความเสียหาย (Fracture Criterion) ที่เลือกใช้ในงานวิจัยชั้นนี้คือ Modified Cockcroft & Latham Criterion ซึ่งมีรายงานว่าสามารถทำนายความเสียหายของวัสดุในกระบวนการตัดได้อย่างแม่นยำ[4,5] ไครเทเรียนดังกล่าวสามารถแสดงให้เห็นในรูปของสมการดังนี้คือ

$$\int^{\bar{\epsilon}} (\sigma^*/\bar{\sigma}) d\bar{\epsilon} = C \quad (1)$$

โดยที่  $\sigma^*$  คือค่าความเค้นหลักสูงสุด (Maximum Principle Stress)  $\bar{\sigma}$  คือค่าความเค้นสมดุล (Equivalent Stress)  $\bar{\epsilon}$  คือความเครียดสมดุล (Equivalent Strain) และ  $C$ , คือความเคี้ยวตัดสมดุลชนะที่เกิดความเสียหาย โดยหลักการของไครเทเรียนนี้คือความเสียหายจะเกิดขึ้นเมื่อค่าความเสียหายหรือค่า  $C$  ในสมการ (1) มีค่าเกินขีดจำกัด (Critical Damage Value;  $C_{cr}$ ) ของวัสดุนั้นๆ ค่า  $C_{cr}$  ของวัสดุสามารถหาได้สองวิธีคือ เปรียบเทียบตำแหน่งที่เริ่มเกิดความเสียหาย (Crack Initiation) ของชิ้นงานในกระบวนการตัดจริง กับตำแหน่งที่เกิดขึ้นในการทำ Simulation และอีกวิธีหนึ่งคือ การทำการทดสอบการตัดหรือการอัดวัสดุแล้วจึงคำนวณหาค่า  $C_{cr}$  จากสมการ (1) [3,6] ค่า  $C_{cr}$  สำหรับวัสดุสามชนิดที่ใช้ในงานวิจัยนี้คือ  $C_{cr} = 0.45, 0.60$  และ  $1.55$  สำหรับ SS400, SUS304 และ A1100-O ตามลำดับ

### 3.2 เมื่อนำไปและอุปกรณ์การทดลอง

วัสดุและวิธีการยืดชิ้นงานที่ใช้ในการทดลองจะเหมือนกันที่ใช้ในการทำ Simulation โดยใช้ FEM ที่ได้อธิบายไว้ในหัวข้อ 3.1 อุปกรณ์ที่ใช้ในการทดลองแสดงให้เห็นในรูปที่ 4 เครื่องที่ใช้ในการทดลองคือ Universal Testing Machine ขนาด 500 kN แรงที่ใช้ในการตัดจะวัดโดยใช้ไฮดรอลิกส์ส่วนระยะที่แม่พิมพ์บนหรือพันธ์เคลื่อนที่จะวัดโดยใช้ไดล์เกจ สัญญาณจากไฮดรอลิกส์และไดล์เกจจะถูกส่งไปยัง X-Y Recorder เพื่อที่จะเขียนกราฟแสดงความสัมพันธ์ระหว่างแรงตัดและระยะทาง (Load-Stroke Diagram) หลังจากนั้นจะนำกราฟแสดงความสัมพันธ์ดังกล่าวและขอบตัดของชิ้นงานที่ได้ไปเปรียบเทียบกับค่าที่ได้จากการวิเคราะห์โดยใช้ FEM เพื่อที่จะตรวจสอบว่าค่าที่ได้จากการวิเคราะห์ถูกต้องหรือไม่

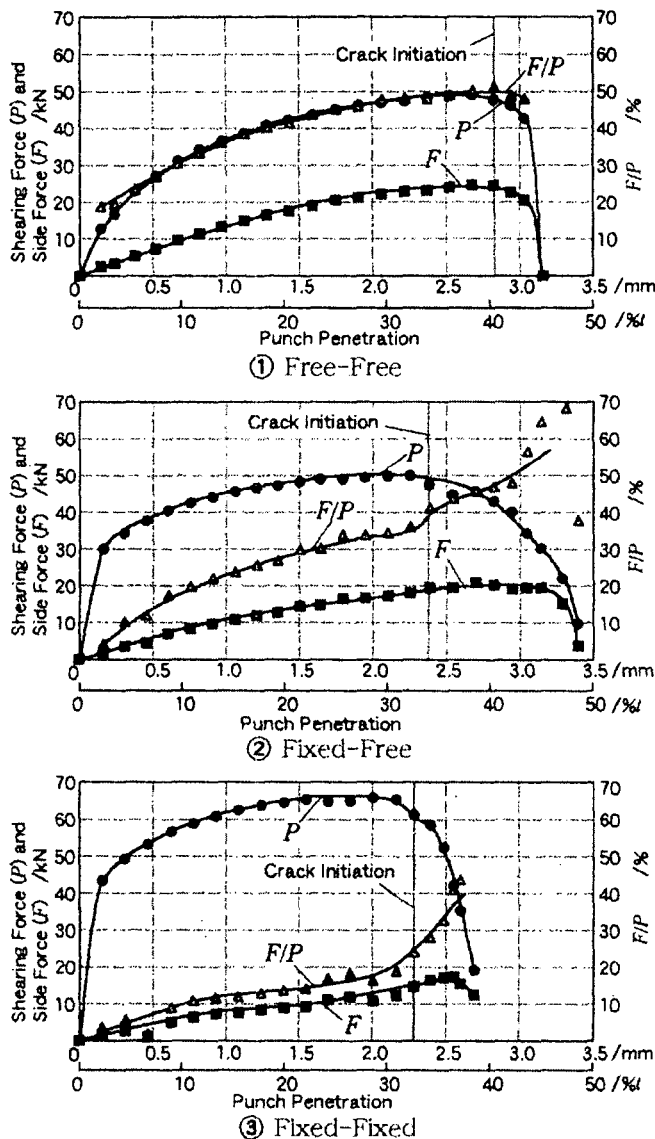


รูปที่ 4 อุปกรณ์ที่ใช้ในการทดลอง

## 4. ผลและการวิเคราะห์ผล

### 4.1 ความสัมพันธ์ระหว่างแรงที่กระทำต่อด้านข้างพันธ์ กับระยะกินลึกในการตัดแบบแคนทิลิเวอร์

ความสัมพันธ์ระหว่างระยะกินลึก (Punch Penetration) กับแรงตัด ( $P$ ) แรงที่กระทำต่อด้านข้างของพันธ์ ( $F$ ) และอัตราส่วนระหว่างแรงที่กระทำต่อด้านข้างของพันธ์ต่อแรงตัด ( $F/P$ ) สำหรับวิธีการยืดชิ้นงานทั้งสามแบบที่ได้จากการทำ Simulation โดยใช้เหล็กผสมคาร์บอนที่มีความหนาเท่ากับ 7 mm แสดงให้เห็นในรูปที่ 5 เริ่มพิจารณาในช่วงก่อนที่จะเกิดความเสียหายหรือรอยแตก (Crack) ขึ้นในชิ้นงานก่อน เมื่อเปรียบเทียบแรงตัด  $P$  สำหรับวิธีการยืดชิ้นงานแต่ละวิธี จะเห็นว่าแรงตัดในการยืดแบบที่ ③Fixed-Fixed จะมีค่ามากที่สุดและมากกว่าในวิธีอื่นประมาณ 3/2 เท่า แต่เมื่อเปรียบเทียบแรงที่กระทำต่อด้านข้างของพันธ์  $F$  จะเห็นว่า  $F$  จะมีค่ามากที่สุดในการยืดแบบที่ ①Free-Free ตามมาด้วยแบบที่ ②Fixed-Free และแบบที่ ③Fixed-Fixed ตามลำดับ นอกจากนั้นเมื่อเปรียบเทียบอัตราส่วนระหว่างแรงที่กระทำต่อด้านข้างของพันธ์ต่อแรงตัด  $F/P$  แล้วจะพบว่า  $F/P$  จะมีค่ามากที่สุดในการยืดแบบที่ ①Free-Free เช่นเดียวกันซึ่งจะมีค่ามากกว่าในการยืดแบบที่ ③Fixed-Fixed ถึงสามเท่า จากผลของการวิเคราะห์ข้างต้นจะเห็นได้ว่าแรงที่กระทำต่อด้านข้างของพันธ์  $F$  จะมีค่ามากถ้าไม่ยึดปลายทั้งสองของชิ้นงานไว้ในขณะที่ตัด ดังนั้นการเลือกตัดโดยวิธีนี้ต้องคำนึงถึงแรง  $F$  ให้มากในชั้นตอนการออกแบบเครื่องมือ ส่วนการยืดชิ้นงานไว้ในขณะที่ตัดจะทำให้แรง  $F$  ลดลงได้ แต่อย่างไรก็ตาม

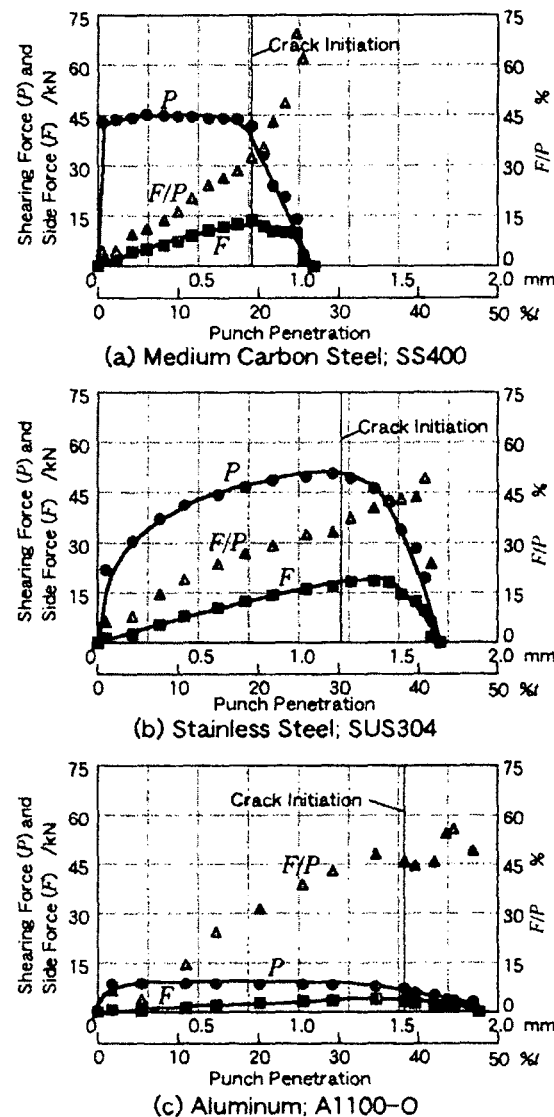


รูปที่ 5 ความสัมพันธ์ระหว่างระยอกนิลึกกับ  $P$ ,  $F$  และ  $F/P$   
(Material : SS400,  $t = 7$  mm,  $CL = 10\%t$ )

จะมีข้อเสียคือจะทำให้แรงตัว  $P$  เพิ่มมากขึ้นและแม่พิมพ์ซับช้อนมากขึ้นด้วย

เมื่อพิจารณาในช่วงหลังจากเกิดรอยแตกขึ้นในชิ้นงาน จะเห็นว่าระยอกนิลึกดังแต่เริ่มเกิดรอยแตกขึ้นในชิ้นงานจนกระทั่งชิ้นงานขาดออกจากกันของวิธีการยืดแบบที่ ②Fixed-Free จะยาวที่สุดตามมาด้วยแบบที่ ①Free-Free และแบบที่ ③Fixed-Fixed ส่วนแนวโน้มของแรง  $F$  หลังจากเกิดรอยแตกนั้น จะเห็นได้ว่าความเร็วในการลดลงของแรง  $F$  นั้นจะช้ากว่าของแรง  $P$  จึงทำให้อัตราส่วน  $F/P$  เพิ่มขึ้นอย่างรวดเร็วก่อนชิ้นงานจะขาดออกจากกัน ซึ่งแนวโน้มนี้จะเห็นได้ชัดเจนในวิธีการยืดชิ้นงานแบบที่ ②Fixed-Free และแบบที่ ③Fixed-Fixed

ส่วนผลของการทำ Simulation โดยใช้วัสดุแตกต่างกัน สามชนิดคือเหล็กสมควรบอน (SS400) เหล็กกล้าไร้สนิม (SUS304) และอลูมิเนียม (A1100-O) ที่มีความหนาเท่ากับ 4 mm โดยใช้วิธีการยืดชิ้นงานแบบที่ ②Fixed-Free ดังแสดงในรูปที่ 6 พบว่าแรงตัว  $P$  มีค่ามากที่สุดสำหรับเหล็กกล้าร่องลงมาก็ออลูมิเนียมตามลำดับ และระยอกนิลึกดังแต่เริ่มเกิดรอยแยกจนกระทั่งชิ้นงานขาดออกจากกันจะยาวที่สุดสำหรับอลูมิเนียม รองลงมาคือเหล็กกล้าและสนิทสุดในกรณีของเหล็กสมควรบอน และเมื่อพิจารณาถึงแรงที่กระทำต่อด้านข้างของพันธ์  $F$  พบว่าจะมีแนวโน้มเหมือนกับแรงตัว  $P$  คือ  $F$  มีค่ามากที่สุดสำหรับเหล็กกล้าร่องลงมาก็ออลูมิเนียมตามลำดับ แต่



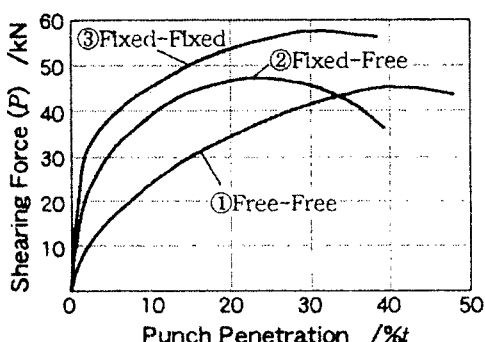
รูปที่ 6 ความสัมพันธ์ระหว่างระยอกนิลึกกับ  $P$ ,  $F$  และ  $F/P$   
สำหรับวัสดุแต่ละชนิด ( $t = 4$  mm,  $CL = 6.25\%t$ )

เมื่อพิจารณาถึงอัตราส่วน  $F/P$  แล้ว จะพบว่า ไม่มีความแตกต่างมากนักระหว่างวัสดุแต่ละชนิด หรืออาจจะสรุปได้ว่าชนิดของวัสดุมีผลน้อยมากต่ออัตราส่วน  $F/P$

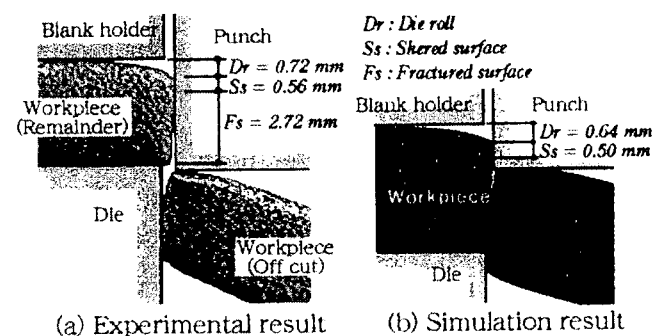
#### 4.2 การตรวจสอบความถูกต้องของผล Simulation

เมื่อเปรียบเทียบผลของการทำ Simulation ข้างต้นกับผลการทดลองที่ Maeda[1] ทำไว้โดยใช้วัสดุ Mild Steel ที่มีความหนาเท่ากับ 1.6 mm พบว่าแนวโน้มของผลการทำ Simulation และผลการทดลอง โดยเฉพาะอย่างยิ่งในส่วนของอิทธิพลของวิธีการยืดชิ้นงานที่มีต่อแรงตัด  $P$  แรงที่กระทำต่อด้านข้างพื้นที่  $F$  และอัตราส่วนระหว่างแรงทั้งสอง  $F/P$  นั้นใกล้เคียงกันมาก นอกจากนี้จากการเปรียบเทียบแรงตัด  $P$  ในกรณีที่ใช้เหล็กผสมคาร์บอนที่มีความหนาเท่ากับ 7 mm ระหว่างผลของ Simulation และผลการทดลอง (ซึ่งแสดงให้เห็นในรูปที่ 7) จะเห็นว่าทั้งขนาดของแรงตัดและแนวโน้มการเปลี่ยนแปลงเมื่อระยะกินลึกเปลี่ยนไปใกล้เคียงกันมาก ซึ่งในกรณีของวัสดุชนิดอื่นที่ใช้ในงานวิจัยชิ้นนี้ก็เช่นเดียวกัน จะพบว่าแรงตัด  $P$  สำหรับอลูมิเนียม เหล็กกล้าไร้สนิมและเหล็กผสมคาร์บอนที่มีความหนาเท่ากับ 4 mm ที่ได้จากการทำ Simulation และการทดลองใกล้เคียงกันมากเช่นเดียวกัน

นอกจากนี้เมื่อเปรียบเทียบของตัวของชิ้นงานที่ได้จากการทำ Simulation และการทำการทดลองพบว่าใกล้เคียงกันมากเช่นเดียวกัน ด้วยว่าการเปรียบเทียบของตัวชิ้นงานเหล็กกล้าไร้สนิมความหนาเท่ากับ 4 mm ที่ได้จากการตัดโดยวิธีการยืดแบบที่ ②Fixed-Free แสดงให้เห็นในรูปที่ 8 จากผลการเปรียบเทียบต่างๆข้างต้น สามารถสรุปได้ว่าผลของการทำ Simulation โดยใช้ FEM มีความแม่นยำค่อนข้างสูง



รูปที่ 7 ความสัมพันธ์ระหว่างระยะกินลึกกับแรงตัดที่ได้จากการทดลอง (Material : SS400,  $t = 7 \text{ mm}$ ,  $CL = 10\%t$ )



(a) Experimental result

(b) Simulation result

รูปที่ 8 การเปรียบเทียบของตัวของชิ้นงานเหล็กกล้าไร้สนิมที่ได้จากการทำ Simulation และการทดลอง (Material : SUS304,  $t = 4 \text{ mm}$ ,  $CL = 6.25\%t$ )

#### 5. บทสรุป

แรงที่กระทำต่อด้านข้างของพื้นที่และด้วยในกระบวนการตัดแบบไม่เสียเศษมีผลอย่างมากต่อความแม่นยำของชิ้นงานและอายุการใช้งานของพื้นที่และด้วยจากการวิเคราะห์หาแรงดังกล่าวโดยการทำ Simulation โดยใช้ FEM ในการตัดแบบแคนทิลเวอร์โดยวิธีการยืดชิ้นงานแตกต่างกันสามวิธี พบว่าผลที่ได้จากการทำ Simulation และผลการทดลองมีแนวโน้มใกล้เคียงกันมาก ซึ่งทำให้สามารถสรุปได้ว่า FEM สามารถนำมาใช้ในการคำนวณหาค่าแรงที่กระทำต่อด้านข้างของพื้นที่และด้วยโดยมีความถูกต้องอย่างเพียงพอ

#### 6. กิตติกรรมประกาศ

ในส่วนของการทดลองในงานวิจัยนี้ได้รับความช่วยเหลือจาก Mr.Satoshi Uchiya และ Mr.Keigo Shinohara นักศึกษาระดับปริญญาตรีภาควิชาวิศวกรรมเครื่องกล Nippon Institute of Technology ประเทศญี่ปุ่น ทางผู้จัดทำเชิญขอขอบคุณมา ณ โอกาสนี้

#### 7. เอกสารอ้างอิง

- [1] T. Maeda, "Measuring of the Side Force acting on Shearing Tools", Journal of the Japan Society for Precision Engineering, Vol.24-11, 1958, pp575-585 (\*in Japanese)
- [2] T. Takahashi and T. Aoki, "Study of Side Force acting on Shearing Tools", Proceeding of the 1994 Spring Conference for the Technology of Plasticity, 1994, pp.99-102 (\*in Japanese)
- [3] H. Kim, M. Yamanaka and T. Altan, "Prediction and Elimination of Ductile Fracture in Cold Forging Using

- FEM Simulations" Trans. Of NAMRSI/SME, Vol.**23**, 1995, pp.63-69
- [4] M.G. Cockcroft and D.J. Latham, Ductility and Workability of Metals, Journal of Institute of Metals, Vol.**96**, 1968, pp.33-39
- [5] S.H. Jeong, J.J. Kang and S.I. Oh, "A Study on Shearing Mechanism by FEM Simulation", Proceeding of the ICTP, 1997, pp.631-634
- [6] M. Murakawa, P. Kaewtatip, M. Jin and N. Koga, "Determination of Optimum Working Parameters in fine Blanking by Means of a FEM Code", Proceeding of the ICTP, Vol.**3**, 1999, pp.2207-2212